



## طراحی مسیر حرکت و کنترل یکپارچه بر اساس مدل دوچرخه غیرخطی خودرو برای تعویض خط خودکار سرعت بالا

هادی سازگار<sup>۱</sup>, شهرام آزادی<sup>۲\*</sup>, رضا کاظمی<sup>۳</sup>

۱- دانشجو دکتری، مهندسی مکانیک، دانشگاه صنعتی خواجه نصیرالدین طوسی، تهران

۲- دانشیار، مهندسی مکانیک، دانشگاه صنعتی خواجه نصیرالدین طوسی، تهران

۳- استاد، مهندسی مکانیک، دانشگاه صنعتی خواجه نصیرالدین طوسی، تهران

\* تهران، صندوق پستی ۱۹۳۹۵۱۹۹۹ azadi@kntu.ac.ir

### چکیده

هدف این پژوهش توسعه یک سیستم کمک راننده پیشرفته برای هدایت یکپارچه طولی- عرضی خودرو در مانورهای تعویض خط سرعت بالاست. عملکرد سیستم به این صورت است که در مرحله اول با در نظر گرفتن موقعیت خودرو هدف، محدوده سرعت مجاز جاده و محدوده شتاب طولی قابل ارائه توسط خودرو، چندین مسیر حرکت با شتابهای مختلف تولید می شوند. در ادامه با لحاظ نمودن دینامیک خودرو و دینامیک تایر از میان مسیرهای تولید شده مناسب انتخاب می گردد؛ بنابراین مسیر حرکت انتخابی یک مسیر عاری از برخورد و قابل پیمایش خواهد بود. نظر به این که در روش پیشنهادی محاسبات طراحی مسیر حرکت به صورت جبری انجام می شود، هزینه محاسباتی آن ناچیز بوده که از جنبه پیاده سازی عملی بسیار ارزشمند است. در گام بعد با استفاده از یک کنترل کننده یکپارچه طولی- عرضی، ورودی های کنترلی محاسبه و به عملگرهای ترمز/ گاز و فرمان ارسال می گردد. برای کنترل یکپارچه از تکنیک مودلغزشی استفاده شده است. لازم به ذکر است که هم در بحث طراحی مسیر حرکت و هم در بحث طراحی کنترل کننده یکپارچه، دینامیک غیرخطی تایر در نظر گرفته شده است. نتایج شبیه سازی های انجام شده نشان می دهند که الگوریتم هدایت یکپارچه طولی- عرضی هم در حوزه طراحی مسیر حرکت و هم و در حوزه کنترل یکپارچه به خوبی عمل نموده است.

### اطلاعات مقاله

مقاله پژوهشی کامل

دریافت: ۲۱ آبان ۱۳۹۶

پذیرش: ۱۴ دی ۱۳۹۶

ارائه در سایت: ۰۵ بهمن ۱۳۹۶

کلید واژگان:

سیستم پیشرفته کمک راننده

راننده‌گی با سرعت بالا

طراحی مسیر حرکت

کنترل یکپارچه طولی- عرضی

مدل دوچرخه غیرخطی

## Trajectory planning and integrated control with the Nonlinear Bicycle Model for high-speed autonomous lane change

Hadi Sazgar<sup>1</sup>, Shahram Azadi<sup>1\*</sup>, Reza Kazemi<sup>1</sup>

۱- Department of Mechanical Engineering, Khajeh Nasir Toosi University of Technology, Tehran, Iran  
\* P.O.B. 193951999 Tehran, Iran, azadi@kntu.ac.ir

### ARTICLE INFORMATION

Original Research Paper  
Received 12 November 2017  
Accepted 04 January 2018  
Available Online 25 January 2018

**Keywords:**  
Advanced Driver Assistant System  
High Speed Driving  
Trajectory Planning  
Integrated Longitudinal & Lateral Control  
Nonlinear Bicycle Model

### ABSTRACT

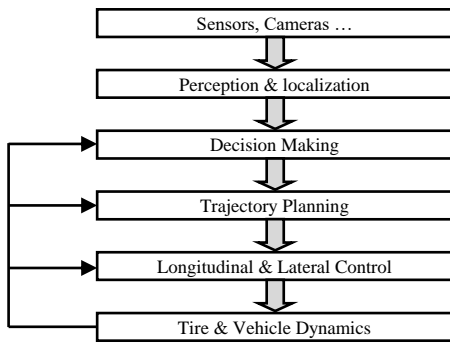
The purpose of this research is to develop an advanced driver assistance system (ADAS) for the integrated longitudinal and lateral guidance of vehicles in high speed lane change maneuver. At the first step, the ADAS by considering the target vehicle position, the speed limit of the road and the available range of longitudinal acceleration produced several trajectories with different acceleration. Then, by considering vehicle and tire dynamics, the optimal trajectory is selected. Therefore, the chosen trajectory is collision free and feasible. Because the trajectory planning is carried out algebraically, its computational cost is low. This feature is very valuable in the experimental implementation. In the next step, using a combined longitudinal-lateral controller, the control inputs are calculated and transmitted to the brake/gas and steering actuators. The integrated controller design is based on sliding mode technique. Trajectory planning and controller design is based on a nonlinear tire model. Simulation results are presented and the results show the effectiveness of the integrated longitudinal and lateral guidance system.

سازمان بیان می کند که هزینه های ناشی از تصادف بیشتر از ۳٪ تولید ناخالص داخلی کشورهاست [۱]. از طرفی بررسی ها و پژوهش های انجام شده نشان می دهند که حدود ۸۰٪ تصادفات و تلفات جاده ای دارای منشا خطاهای انسانی بوده است [۳,۲]. رانندگی خودکار یکی از راه کارهای مطرح برای کاهش خطاهای انسانی است. طبیعتاً ایده آل یک مهندس و یا سازنده خودرو این است که رانندگی کاملاً خودکار و یا اصطلاحاً بدون راننده انجام پذیرد. با این حال رانندگی بدون سرنشین یک مسئله پیچیده بوده که

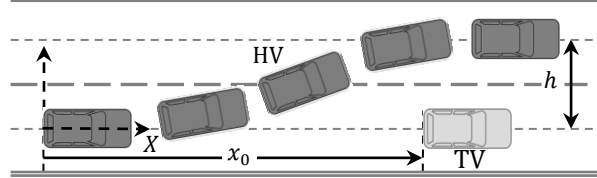
**-۱- مقدمه**  
امروزه کاربرد و قابلیت های سیستم های پیشرفته کمک راننده به طور چشم گیری در حال افزایش است. این سیستم ها در کنار تأمین راحتی سفر، کاهش ترافیک، بهینه سازی مصرف سوخت و کاهش آلودگی نقش بسیار مهمی در کاهش تصادفات دارند. طبق آمارهای سازمان بهداشت جهانی در سراسر جهان بر اثر تصادفات روزانه بیش از ۳۴۰۰ نفر فوت و همچنین سالانه دهها میلیون نفر نیز دچار مصدومیت می شوند، همچنین گزارش های این

برای ارجاع به این مقاله از عبارت ذیل استفاده نمایید:

H. Sazgar, Sh. Azadi, R. Kazemi, Trajectory planning and integrated control with the Nonlinear Bicycle Model for high-speed autonomous lane change, *Modares Mechanical Engineering*, Vol. 18, No. 02, pp. 103-114, 2018 (in Persian)



**شکل ۱** الگوریتم هدایت یکپارچه طولی- عرضی خودرو



**شکل ۲** مانور تعویض خط حرکت

ترمز به حدی است که چنان‌چه خودرو میزبان تنها از ترمزگیری استفاده کند، برخورد حتمی است. در چنین شرایطی برای اجتناب از برخورد تنها راه ممکن این است که خودرو میزبان ضمن کاهش سرعت به سمت خط حرکت مجاور تغییر مسیر دهد. فرض بر این است که سرعت اولیه و فاصله اولیه بین دو خودرو به گونه‌ای است که مانور امکان‌پذیر است.

در انتهای این بخش مروری بر مهم‌ترین چالش‌های پیش‌رو در هدایت یکپارچه خودرو ارائه می‌گردد. اولین چالش انتخاب یک مدل دینامیکی مناسب برای خودرو و تایر است. این مدل باید ضمن ساده بودن به خوبی بیانگر رفتار واقعی سیستم در مانور مورد نظر باشد. برای انتخاب یک مدل مناسب باید رفتار خودرو و تایر در مانور مورد نظر به دقت مورد تحلیل و بررسی قرار گیرد. در ادامه با توجه به این تحلیل‌ها، فرضیات و قواعد کاربردی استخراج گردد. بدون شک در مراحل مختلف طراحی مسیر حرکت و همچنین طراحی کنترل یکپارچه، این قواعد بسیار راه‌گشا خواهند بود. چالش مهم دیگر این است که الگوریتم ارائه شده باید حجم محاسباتی قابل داشته و همچنین داده‌های مورد نیاز آن با استفاده از تجهیزات موجود قابل اندازه‌گیری و یا شناسایی باشند. در نهایت بحث پایداری الگوریتم کنترلی نکته اساسی است که حتماً باید مورد توجه قرار گیرد.

### ۳- مدل دینامیکی

مدل دینامیکی استفاده شده در این پژوهش همان مدل دوچرخه است [۶]. با این حال به منظور نزدیک بودن رفتار مدل به رفتار واقعی خودرو ملاحظاتی مانند انتقال بار طولی و مدل غیرخطی تایر در نظر گرفته شده‌اند. مدل دینامیکی را می‌توان به سه بخش معادلات حرکت خودرو، معادله حرکت چرخ و دینامیک تایر تقسیم‌بندی نمود. در ادامه هر یک از این بخش‌ها به تفصیل تشریح خواهد گردید.

### ۳-۱- معادلات حرکت خودرو

مدل دوچرخه خودرو در شکل ۳ نشان داده شده است. این مدل شامل سه درجه آزادی  $\dot{x}$  و  $\dot{y}$  بوده که به ترتیب بیانگر موقعیت طولی، موقعیت

جهت‌های چالش‌برانگیز زیادی دارد و نیازمند داشتن مهارت در حوزه‌های متنوعی مانند مباحث دیداری<sup>۱</sup>، پردازش تصویر، طراحی مسیر حرکت، مدل‌سازی و کنترل خودکار خواهد بود. استفاده از سیستم‌های کمک راننده یکی از راه حل‌های مطرح برای کاهش خطاهای انسانی است. در دهه‌های گذشته سیستم‌های کمک راننده بسیاری به منظور کاهش خطای راننده و پرهیز از شرایط خطرناک توسعه داده شده‌اند [۵, ۶]. شماری زیادی از این تحقیقات عملیاتی شده و تعدادی نیز به مرحله تولید آمده‌اند. برخی از مهم‌ترین آن‌ها عبارت از سیستم‌های توأم ضد قفل، سیستم‌های کنترل پایداری الکتریکی، سیستم‌های اجتناب از برخورد، سیستم‌های کروز کنترل تطبیقی، سیستم‌های هشدار خارج شدن از خط حرکت، سیستم‌های حفظ خط حرکت، سیستم‌های کمکی برای تعویض خط حرکت و سیستم‌های پارک خودکار است. با بررسی سیستم‌های موجود مشاهده می‌شود که عمدۀ این سیستم‌ها در حوزه هدایت طولی و یا هدایت عرضی خودرو است. در واقع تعداد سیستم‌های کمک راننده‌ای که بتوانند هدایت یکپارچه طولی-عرضی را انجام دهنده اندک است. همین موارد اندک نیز محدودیت‌هایی داشته و تنها برای مانورهای ساده پاسخ‌گو است. به هر حال در مانورهای بحرانی، جفت‌شدنگی‌های بسیار قوی بین دینامیک طولی و دینامیک عرضی در چندین سطح دینامیک، سینماتیک و نیروهای تایر وجود دارند؛ بنابراین نیاز به یک سیستم کمک راننده که بتواند در این مانورهای خودرو را هدایت کند به خوبی احساس می‌گردد.

چیدمان بخش‌های مختلف این مقاله به شرح زیر است. در ادامه سیستم هدایت یکپارچه طولی- عرضی به صورت خلاصه معرفی می‌شود. مدل دینامیکی خودرو و دینامیک تایر به تفصیل در بخش سوم ارائه شده‌اند. بخش بعد به معرفی قواعد کاربردی و فرضیات مورد استفاده در این پژوهش اختصاص یافته است. در بخش‌های پنجم و ششم به ترتیب جزئیات طراحی مسیر حرکت و طراحی کنترل یکپارچه بیان گردیده است. بخش هفتم به بیان نتایج شبیه‌سازی و بررسی عملکرد الگوریتم هدایت یکپارچه پیشنهادی اختصاص یافته است. در ادامه نیز نتیجه‌گیری و پیشنهاد برای پژوهش‌های آینده بیان و اثبات پایداری روش کنترلی نیز در پیوست ارائه شده است.

### ۲- معرفی سیستم هدایت یکپارچه طولی- عرضی

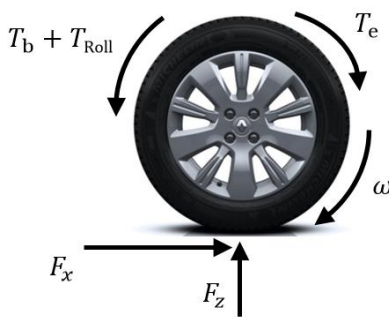
هدف این پژوهش ارائه یک الگوریتم است که با در نظر گرفتن محدوده سرعت مجاز بزرگراه، موقعیت خودرو هدف، دینامیک خودرو و دینامیک تایر، ابتدا یک مسیر حرکت مناسب تولید نموده و سپس با استفاده از یک کنترل کننده یکپارچه طولی- عرضی، ورودی‌های کنترلی مناسب را محاسبه و به عملگرهای ترمز/ گاز و فرمان ارسال نماید. همان‌طور که در شکل ۱ نشان داده شده است، الگوریتم هدایت طولی- عرضی مراحل مختلفی دارد. با این حال در این پژوهش تمرکز بر دو حوزه طراحی مسیر حرکت و کنترل طولی- عرضی خودرو است، به بیان دیگر فرض می‌شود که اطلاعات لازم از سایر مراحل کاملاً در دسترس باشند.

به عنوان نمونه‌ای از کاربرد این الگوریتم می‌توان به اجتناب از برخورد بحرانی در بزرگراه اشاره نمود. خودرو سواری میزبان<sup>۲</sup> (HV) که در یک بزرگراه و در مسیر مستقیم با سرعت بالا در حال حرکت است را در نظر بگیرید (شکل ۲). خودرو هدف<sup>۳</sup> (TV) نیز در خط حرکت فعلی خودرو در حال حرکت است. در یک لحظه خودرو هدف به شدت ترمز می‌گیرد. شدت

<sup>1</sup> Vision

<sup>2</sup> Host Vehicle

<sup>3</sup> Target Vehicle



شکل 4 نمودار جسم آزاد چرخ در حال شتاب‌گیری

که ممان اینرسی دورانی چرخ،  $F_x$  نیروی طولی تایر،  $R_w$  شعاع مؤثر چرخ،  $T_e$  گشتاور موتور منتقل شده به چرخ،  $T_b$  گشتاور ترمزی و  $T_{Roll}$  نماد گشتاور مقاوم غلتی است. جهت نشان داده شده در شکل 4 برای  $F_x$  مربوط به حالت شتاب‌گیری است، همچنین گشتاور مقاوم غلتی نیز با کمک رابطه (7) قابل محاسبه است.

$$T_{Roll} = f_r F_z R_w \quad (7)$$

که  $f_r$  و  $F_z$  به ترتیب معرف ضریب مقاومت غلتی و نیروی نرمال تایر است.

### 3-3- دینامیک تایر

با فرض وابستگی خطی نیروی اصطکاک تایرها به نیروی عمودی هر تایر، می‌توان نیروی اصطکاک طولی یا عرضی تایر را با رابطه (8) بیان کرد.

$$F_{\gamma_\tau} = \mu_{\gamma_\tau} F_{z_\tau}, \quad \tau \in \{x, y\} \quad (8)$$

که  $F_{z_\tau}$  معرف بار عمودی هر یک از تایرهای جلو یا عقب بوده و  $\mu_{\gamma_\tau}$  بیانگر ضریب اصطکاک طولی یا عرضی همان تایر است. هر چند محاسبه دقیق نیروی عمودی تایر با در نظر گرفتن دینامیک سیستم تعليق به آسانی قابل انجام است، اما این امر باعث افزایش مرتبه مدل دینامیکی خواهد گردید. برای پرهیز از این مسئله در این پژوهش از دینامیک سیستم تعليق صرف نظر شده و نیروی عمودی تایر با در نظر گرفتن شتاب طولی خودرو به صورت تقریبی به صورت روابط (9) محاسبه می‌گردد.

$$F_{z_f} = \frac{m}{2l} \left( gl_r - a_{x_{cg}} h_{cg} - \frac{F_{aero} h_{aero}}{m} \right) \quad (9-a)$$

$$F_{z_r} = \frac{m}{2l} \left( gl_f + a_{x_{cg}} h_{cg} + \frac{F_{aero} h_{aero}}{m} \right) \quad (9-b)$$

با توجه به روابط (9-a) روشن است که مجموع نیروهای عمودی تایرها برابر نیروی وزن خودرو ( $mg$ ) است.

ضریب  $\mu_{\gamma_\tau}$  را نیز می‌توان با استفاده از فرمول پُز کا جادویی، به صورت روابط (10) محاسبه نمود [9].

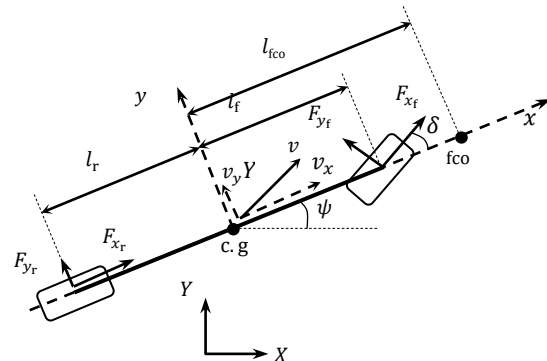
$$\mu_{\gamma_\tau} = \frac{s_{\gamma_\tau}}{s_\tau} \mu_\tau, \quad \gamma \in \{x, y\}, \quad \tau \in \{f, r\} \quad (10-a)$$

$$\mu_\tau = D \sin[C \arctan(B s_\tau)], \quad \tau \in \{f, r\} \quad (10-b)$$

$$s_\tau = \sqrt{s_{x_\tau}^2 + s_{y_\tau}^2}, \quad \tau \in \{f, r\} \quad (10-c)$$

$C, D$  ضرایبی ثابت هستند که با توجه به شرایط تایر و جاده تعیین می‌گردد، در این پژوهش فرض شده است که این ثوابت در دسترس بوده و برای تمامی تایرها یکسان می‌باشند.  $\mu$  بیانگر ضریب اصطکاک کل بوده که تابعی از لغزش کل  $s_\tau$  است. لغزش کل تایر نیز خود تابعی از لغزش طولی  $s_{x_\tau}$  و لغزش عرضی  $s_{y_\tau}$  است.

لغزش طولی هر یک از تایرهای جلو یا عقب تابعی از سرعت طولی نقطه



شکل 3 مدل دوچرخه خودرو

عرضی و زاویه سمتی خودرو است. سرعت مرکز جرم خودرو برابر  $v$  بوده که با تجزیه آن در دستگاه مختصات محلی خودرو دو مؤلفه  $v_x$  و  $v_y$  (سرعت طولی و عرضی) حاصل می‌گرددند. زاویه فرمان و زاویه لغزش جانبی نیز به ترتیب با نمادهای  $\delta$  و  $\beta$  نشان داده شده‌اند. همچنین فرض شده است که خودرو تنها از طریق چرخ‌های جلو فرمان‌پذیر باشد.

نیروهایی تایر نیز بر حسب مختصات محلی تایر بیان شده‌اند. در واقع نیرویی که در راستای تایر بوده با زیرنویس  $x$  و نیروی که عمود بر تایر است با زیرنویس  $y$  مشخص گردیده است. فاصله مرکز جرم تا محورهای جلو و عقب نیز به ترتیب با نمادهای  $l_f$  و  $l_r$  معروف شده‌اند. ارتفاع مرکز جرم خودرو و ارتفاع مرکز آبرو دینامیکی به ترتیب برابر  $h_{cg}$  و  $h_{aero}$  فرض شده‌اند. همچنین جرم خودرو با نماد  $m$  و ممان اینرسی آن نیز با نماد  $I_z$  معروف می‌گردد. با توجه به شکل 3 و به کارگیری قانون دوم نیوتون، حرکت کرکت بر حسب شتاب مرکز جرم را می‌توان با روابط (1) توصیف کرد.

$$ma_{x_{cg}} = F_{x_f} \cos \delta - F_{y_f} \sin \delta + F_{x_r} - F_{aero} \quad (1-a)$$

$$m a_{y_{cg}} = F_{x_f} \sin \delta + F_{y_f} \cos \delta + F_{y_r} \quad (1-b)$$

$$I_z \ddot{\psi} = l_f (F_{x_f} \sin \delta + F_{y_f} \cos \delta) - l_r F_{y_r} \quad (1-c)$$

در معادلات حرکت  $f$  و  $r$  به ترتیب معرف تایرهای جلو و عقب است، همچنین  $F_{aero}$  بیانگر نیروی آبرو دینامیکی بوده و با رابطه (2) تعریف می‌گردد [6].

$$F_{aero} = \frac{1}{2} \rho C_d A_F (v_x + v_{wind})^2 \quad (2)$$

که در آن  $\rho$  و  $C_d$  به ترتیب معرف چگالی هوا، ضریب بازدارندگی آبرو دینامیکی و سرعت باد است.  $A_F$  نیز بیانگر سطح تصویر شده خودرو در راستای طولی بوده که برای خودروهای سواری با جرم 800-2000 kg برابر  $1.6 + 0.00056(m - 765)$  فرض می‌شود [6].

شتابهای طولی و عرضی مرکز جرم نیز به ترتیب با معادلات (3-a) تعریف می‌شوند.

$$a_{x_{cg}} = \dot{v}_x - v_y \psi \quad (3-a)$$

$$a_{y_{cg}} = \dot{v}_y + v_x \dot{\psi} \quad (3-b)$$

### 2-3- معادله حرکت چرخ

چرخ یکی از مهم‌ترین زیرسیستم‌ها در بررسی رفتار دینامیکی خودرو در حالت ترمزگیری و شتاب‌گیری است. نمودار جسم آزاد چرخ در شکل 4 نشان داده شده است.

با توجه به شکل 4 و فرض  $T = T_e - T_b$  با به کارگیری قانون دوم نیوتون، معادله حرکت چرخ را می‌توان با رابطه (6) بیان نمود.

$$I_w \ddot{\omega} = T - F_x R_w - T_{Roll} \quad (6)$$

قاعده دوم: تناسب ترمیزی، با توجه به این قاعده توزیع گشتاور ترمیزی بین چرخ‌های جلو و عقب مناسب با نیروی نرمال تایرهای جلو و عقب است.

قاعده سوم: گشتاور رانشی تنها به چرخ‌های جلو اعمال می‌شود؛ بنابراین در این شرایط لغزش طولی تایرهای عقب (در مقایسه با تایرهای جلو) ناچیز بوده و می‌توان از نیروی طولی این تایرهای در مقایسه با تایرهای جلو صرف نظر نمود.

قاعده چهارم: در مانور مورد نظر زاویه لغزش تایرهای کوچک است؛ بنابراین تقریب‌های  $\sin(\alpha_{\tau,\epsilon}) \approx \alpha_{\tau,\epsilon}$  و  $\tan(\alpha_{\tau,\epsilon}) \approx \alpha_{\tau,\epsilon}$  برقرار بوده و روابط (15-a) به رابطه (16) تبدیل می‌گردد.

$$s_{y_\tau} = K_{\alpha_\tau} \alpha_\tau, \quad \tau \in \{f, r\} \quad (16)$$

که برای  $0 \leq s_{x_\tau} = v_{rw_\tau}/v_{cw_\tau} < 1$  است.

## 5- طراحی مسیر حرکت

در بحث طراحی مسیر حرکت باید دو هدف اجتناب از برخورد و قابل پیمایش بودن مسیر تأمین گردد. با یک نگاه گذرا به پژوهش‌های انجام شده می‌توان نتیجه گرفت که بحث طراحی مسیر حرکت در محیط دینامیک بارها مورد مطالعه قرار گرفته است. به تازگی کاتراکراس و همکاران یک تحقیق کامل و دقیقی بر انواع روش‌های مطرح شده در حوزه طراحی مسیر حرکت بلادرنگ خودرو انجام داده‌اند [11]. با توجه به نتایج این پژوهش و همچنین مطالعه سایر مراجع می‌توان گفت که یکی از حوزه‌هایی که کمتر مورد توجه قرار گرفته لحاظ نمودن محدودیت‌های دینامیکی خودرو و تایر در طراحی مسیر حرکت است. در ادامه به برخی از مهم‌ترین محدودیت‌های موجود در روش‌های طراحی مسیر حرکت اشاره می‌گردد. در برخی پژوهش‌ها فرض شده که سرعت خودرو ثابت باشد [12]. شمار زیادی از پژوهشگران مانند [13] در بحث طراحی مسیر تنها قیدهای سینماتیکی خودرو را در نظر گرفته‌اند. برخی رفتار خودرو را با یک مدل دینامیکی خطی تقریب زده‌اند [14]. بسیاری نیز فرض کردند که ماکریزم شتاب طولی یا عرضی ثابت باشد [15]. با این حال چون تایر در مانورهای بحرانی وارد ناحیه اشبع خود می‌گردد، فرضیات انجام شده در پژوهش‌های اخیر با شرایط واقعی هم‌خوانی نخواهد داشت. چرا که در چنین مانورهای دینامیک تایر و در نتیجه رفتار خودرو کاملاً غیرخطی خواهد بود، همچنین ظرفیت نیروی برآیند تایر محدود است، این بین معناست که چنان‌چه نیروی طولی/عرضی تایر افزایش یابد، حداقل نیروی عرضی/طولی که تایر می‌تواند تأمین نماید، کاهش خواهد یافت؛ بنابراین در مانورهای بحرانی نمی‌توان یک ماکریزم شتاب ثابت طولی/عرضی برای کل فرآیند طراحی مسیر در نظر گرفت. در واقع ماکریزم شتاب طولی و یا عرضی مجاز در هر لحظه متفاوت خواهد بود. یکی از پژوهش‌هایی که در طراحی مسیر حرکت، دینامیک غیرخطی خودرو و تایر را در نظر گرفته تحقیق جئون و همکاران است. روش ارائه شده توسط ایشان کلی بوده و برای عموم شرایط رانندگی قابل استفاده است. با این حال حجم محاسباتی آن بالا بوده و همچنین ممکن است گرفتار مینیمم محلی شود. از طرفی مسئله طراحی مسیر حرکت برای مانور تعویض خط سرعت بالا نسبتاً ساده بوده و به نظر می‌رسد با روش‌های ساده‌تر مانند استفاده از چند جمله‌ای‌ها بتوان مسیرهای حرکت مناسبی استخراج نمود [7]. از جمله پژوهش‌های جدیدی که از چند جمله‌ای‌ها برای طرحی مسیر حرکت استفاده نموده‌اند می‌توان به تحقیق کدخدا جعفریان [16] برای خودرو سواری و تحقیق شجاعی [17] برای کشنده نیمه تریلر اشاره کرد. در این دو پژوهش با یک روش مشابه بر مبنای اجتناب از برخورد و ظرفیت دینامیکی خودرو مسیر

تماس تایر با سطح جاده ( $v_{cw_{t,\epsilon}}$ ) و سرعت طولی معادل دوران چرخ ( $v_{rw_{t,\epsilon}}$ ) بوده و با رابطه (11) تعریف می‌گردد.

$$s_{x_\tau} = \frac{v_{rw_\tau} - v_{cw_\tau}}{\max(v_{rw_\tau}, v_{cw_\tau})}, \quad \tau \in \{f, r\} \quad (11)$$

سرعت طولی نقطه تماس تایر با سطح جاده برای تایرهای جلو و عقب را نیز می‌توان به ترتیب از معادلات (12-a) محاسبه نمود.

$$v_{cw_f} = v + \dot{\psi} \beta l_f \quad (12-a)$$

$$v_{cw_r} = v - \dot{\psi} \beta l_r \quad (12-b)$$

چنان‌چه سرعت دورانی چرخ با نماد  $\omega$  نشان داده شود، سرعت طولی معادل دوران چرخ ( $v_{rw_\tau}$ ) از رابطه (13) تعیین می‌گردد.

$$v_{rw_\tau} = R_{w_\tau} \omega_\tau, \quad \tau \in \{f, r\} \quad (13)$$

برای محاسبه لغزش عرضی ابتدا باید زاویه لغزش تایر مشخص گردد. زاویه لغزش تایر جلو ( $\alpha_f$ ) و زاویه لغزش تایر عقب ( $\alpha_r$ ) را به ترتیب می‌توان با استفاده از روابط (14-a) تعیین کرد.

$$\alpha_f = \delta - \tan^{-1} \left( \frac{v_y + \dot{\psi} l_f}{v_x} \right) \quad (14-a)$$

$$\alpha_r = -\tan^{-1} \left( \frac{v_y - \dot{\psi} l_r}{v_x} \right) \quad (14-b)$$

حال که زاویه لغزش مشخص شد، با کمک روابط (15-a) می‌توان لغزش عرضی را محاسبه نمود [10].

حال اول ( $s_{x_\tau} \leq 0$ ):

$$s_{y_\tau} = \frac{v_{rw_\tau} \sin(\alpha_\tau)}{v_{cw_\tau}}, \quad \tau \in \{f, r\} \quad (15-a)$$

حال دوم ( $s_{x_\tau} > 0$ ):

$$s_{y_\tau} = \tan(\alpha_\tau), \quad \tau \in \{f, r\} \quad (15-b)$$

پارامترهای مدل دینامیکی خودرو مورد نظر در جدول 1 ارائه شده‌اند.

## 4- قواعد کاربردی و فرضیات مهم

همان‌طور که پیشتر اشاره شد، الگوریتم ارائه شده در این پژوهش برای سرعت‌های بالا در بزرگراه قابل استفاده است. با بررسی دقیق حرکت خودرو در این شرایط می‌توان قواعد کاربردی بسیار مهمی استخراج نمود که در بحث طراحی مسیر حرکت و طراحی کنترل‌کننده یکپارچه بسیار راه‌گشا و مفید خواهد بود. در ادامه این قواعد به صورت خلاصه معرفی می‌گردد.

قاعده اول: با توجه به بالا بودن سرعت، برای حفظ پایداری خودرو باید زاویه سمتی ( $\psi$ ) و زاویه فرمان ( $\delta$ ) کوچک باشند.

جدول 1 پارامترهای خودرو [9]

Table 1 Vehicle parameters [9]

نماد پارامتر	واحد	مقدار
$m$	kg	1450
$I_z$	$\text{kgm}^2$	2740
$l_f$	m	1.1
$l_r$	m	1.6
$h_{cg}$	m	0.4
$h_{aero}$	m	0.4
$v_{wind}$	$\text{m/sec}$	0
$w_{HV}$	m	0.85
$b_f$	m	2
$R_w$	m	0.3
$l_w$	$\text{kgm}^2$	0.9
$f_r$	---	0.015
$B$	---	7
$C$	---	1.6
$D$	---	0.52

گرفته شده است. مختصات گوشه عقب سمت راست خودرو هدف برحسب زمان ( $t$ ) نیز ( $X_B(t)$  و  $Y_B(t)$ ) بوده که در دستگاه مختصات اینرسی  $X - Y$  بیان می‌گردد. موقعیت عرضی خودرو هدف در زمان رسیدن نیز برابر  $w_{TV}$  فرض شده است، همچنین فرض بر این است که در ابتدای مانور تابع  $X_B(t)$  و  $Y_B(t)$  مشخص باشند. حرکت مطلوب مرکز جرم خودرو میزبان در راستای عرضی (( $Y_R(t)$ ) به صورت یک منحنی درجه 5 برحسب زمان در نظر گرفته می‌شود. دلیل استفاده از چندجمله‌ای درجه 5 این است که با توجه به دوبار مشتق پذیر بودن این منحنی، مسیرهای حرکت درجه 5 هموار بوده و به علاوه برای تعریف مسیر حرکت به تعداد نقاط کمی نیاز است. در واقع با آگاهی از مقادیر متغیرها در دو نقطه می‌توان مسیر حرکت درجه 5 را تعریف کرد [13]. با توجه به نکات یاد شده موقعیت عرضی مطلوب مرکز جرم خودرو میزبان در دستگاه مختصات اینرسی را می‌توان با رابطه (17) بیان کرد.

$$Y_R(t) = b_1 t^5 + b_2 t^4 + b_3 t^3 + b_4 t^2 + b_5 t + b_6 \quad (17)$$

$b_1$  تا  $b_6$  ثوابتی هستند که برای تعریف مسیر استفاده می‌شوند. دقت شود که زیرنویس  $R$  بیانگر حالت مطلوب است. همچنین فرض می‌شود که در ابتدای حرکت مرکز جرم خودرو بر مبدأ محورهای مختصات منطبق بوده و سرعت عرضی و شتاب عرضی در ابتدا و انتهای مانور نیز صفر می‌باشند. جایه‌جایی عرضی مرکز جرم خودرو در کل مانور نیز برابر  $h$  است. زمان کل مانور نیز برابر  $t_f$  فرض می‌شود که مجھول است. با اعمال این شرایط به معادله (17) موقعیت عرضی مطلوب مرکز جرم را می‌توان با رابطه (18) توصیف نمود.

$$Y_R(t) = \left( \frac{6h}{t_f^5} \right) t^5 - \left( \frac{15h}{t_f^4} \right) t^4 + \left( \frac{10h}{t_f^3} \right) \quad (18)$$

در این پژوهش فرض می‌شود که حرکت طولی خودرو یک حرکت شتاب ثابت باشد. با این حال با توجه به دینامیک سیستم ترمز / گاز نمی‌توان فرض کرد که از همان ابتدای مانور، شتاب مطلوب در دسترس است. برای این منظور پیشنهاد می‌شود که شتاب طولی مطلوب ( $a_{x_R}$ ) با رابطه (19) بیان گردد.

$$\frac{A_{x_R}(s)}{A_x(s)} = \frac{K}{s + K} \quad (19)$$

که  $K$  ثابت زمانی سیستم ترمز / گاز است. با فرض این که شتاب نهایی خودرو میزبان مقدار ثابت  $a_{HV}$  باشد  $a_{HV} = a_{x_R}(s) = a_{x_R}(s) = a_{x_R}(s) = a_{x_R}(s)$  با گرفتن لاپلاس معکوس از رابطه (19)، شتاب مطلوب به صورت رابطه (20) خواهد بود.

$$a_{x_R}(t) = a_{HV} (1 - e^{-Kt}) \quad (20)$$

با توجه به این که در ابتدای حرکت، خودرو در جهت بزرگراه قرار دارد، می‌توان گفت که سرعت طولی اولیه آن  $v_0 = v_R(0)$  است. با فرض این که در ابتدای حرکت مرکز جرم خودرو بر مبدأ مختصات اینرسی منطبق بوده ( $X_R(0) = 0$ ) و همچنین زاویه سمتی خودرو کوچک است، با دوبار انتگرال گیری از معادله شتاب (رابطه (20)) می‌توان موقعیت طولی مطلوب خودرو را برحسب زمان محاسبه کرد (رابطه (21)).

$$X_R(t) = a_{HV} \left[ \frac{1}{K^2} (1 - e^{-Kt}) - \frac{t}{K} + \frac{t^2}{2} \right] + v_0 t \quad (21)$$

با توجه به قاعده اول و دقت در شکل 5 می‌توان موقعیت طولی نقطه  $A$  را با رابطه (22) تعریف نمود.

$$X_A(t) = X_R(t) + b_f \quad (22)$$

در مورد خودرو هدف، ( $X_B(t)$  و  $Y_B(t)$ ) می‌تواند هر تابع دلخواهی باشد. با این حال به منظور تکمیل فرمول بندی روش ارائه شده، در این مرحله فرض می‌شود که حرکت طولی خودرو هدف با شتاب ثابت  $a_{TV}$  انجام پذیرد. با

حرکت مناسب طراحی شده است. از جمله نقاط قوت مرجع [16] می‌توان به قابلیت تشخیص امکان انجمام مانور و همچنین قابلیت استفاده برای شرایط ترافیکی متنوع اشاره نمود. مرجع [17] نیز از این جهت که طراحی مسیر حرکت را برای یک کشنده تریلر انجمام داده ارزشمند است. با این حال این دو پژوهش محدودیت‌های اساسی دارند. مهم‌ترین محدودیت ثابت فرض نمودن سرعت خودرو میزبان است. روشن است که با این فرض الگوریتم‌های ارائه شده در این دو پژوهش برای مانورهای بحرانی اجتناب از برخورد که علاوه بر تعویض خط حرکت نیازمند ترمزگیری / شتاب‌گیری نیز می‌باشد، قابل استفاده نخواهند بود. محدودیت دیگر این است که برای یافتن زمان نهایی مانور لازم است چند معادله غیرخطی به صورت همزمان حل شوند. به نظر می‌رسد با توجه به برخط بودن طراحی مسیر حرکت ممکن است حل این معادلات در زمان کوتاه انجام پذیر نبوده و بنابراین فرآیند هدایت خودرو با مشکل مواجه شود.

با توجه به توضیحات اخیر می‌توان نتیجه گرفت که طراحی مسیر در مانورهای بحرانی و محیط دینامیک نیازمند انجام تحقیقات بیشتری است.

در این پژوهش ابتدا با توجه به شرط عدم برخورد به ازاء شتاب‌های مختلف مسیرهای حرکت مختلف استخراج شده و سپس مسیرهایی مجاز با لحاظ نمودن محدوده سرعت مجاز بزرگراه تعیین می‌گردد. در ادامه ماکریزم اصطکاک مورد نیاز در هر مسیر با در نظر گرفتن دینامیک خودرو و دینامیک تایر تعیین می‌گردد. از طرفی ماکریزم اصطکاک موجود نیز مشخص است؛ بنابراین مسیرهای که ماکریزم اصطکاک آن‌ها بیش از اصطکاک ماکریزم موجود باشد، غیرقابل قبول خواهند بود. در انتهای مسیری که ماکریزم اصطکاک مورد نیاز آن کمتر است، به عنوان مسیر حرکت مطلوب انتخاب می‌گردد. در ادامه ابتدا جزئیات روش اجتناب از برخورد و سپس مباحث مربوط به ارزیابی قابل پیمایش بودن مسیر حرکت ارائه خواهد گردید.

## 5-1- اجتناب از برخورد

در اجتناب از برخورد هدف این است که مسیر به گونه‌ای طراحی شود که خودرو میزبان با یک فاصله اینم  $sd$  از کنار خودرو هدف عبور کرده و به خط حرکت مجاور منتقل گردد. بدیهی است که برای رسیدن به این هدف بی‌نهایت مسیر وجود دارد. بهته برخی از این مسیرها از منظر دینامیک خودرو و دینامیک تایر امکان‌پذیر نبوده که در بخش بعد بررسی خواهند شد. در این بخش به ذبال مسیرهایی هستیم که شرط فاصله اینم و محدوده سرعت مجاز بزرگراه را برآورده نمایند. برای درک بهتر برخورد، موقعیت عرضی دو خودرو در لحظه رسیدن، در شکل 5 نشان داده شده است.

با توجه به شکل 5 فاصله مرکز جرم خودرو میزبان تا دورترین نقطه سپر جلو و سپر عقب به ترتیب  $b_f$ ,  $b_r$  است. عرض خودرو نیز برابر  $2w_{HV}$  در نظر

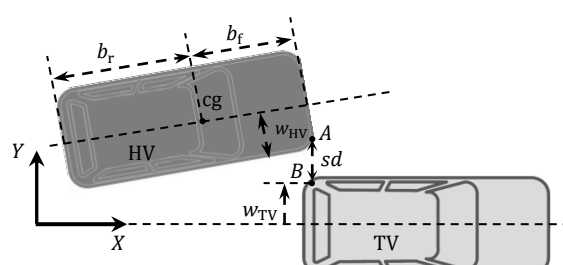


Fig. 5 Illustration of lateral distance between host vehicle and target vehicle at the moment of arrival

شکل 5 فاصله عرضی بین خودرو میزبان و خودرو هدف در لحظه رسیدن

نتوانند اصطکاک لازم برای این مسیر حرکت را تأمین کنند، مسیر غیرقابل پیمایش و در غیر این صورت مسیر قابل پیمایش خواهد بود. البته هر چه ضریب اصطکاک لازم به ماکزیمم ضریب اصطکاک موجود نزدیکتر باشد، مسیر حرکت پیشنهادی بحرانی تر خواهد بود؛ بنابراین در این بخش میزان بحرانی بودن مسیرهای قابل پیمایش پیشنهادی نیز تعیین می‌گردد. لازم به ذکر است که در انتهای بخش اجتناب از برخورد، مسیرهای حرکت پیشنهادی کاملاً معین گردیدند؛ بنابراین برای هر مسیر حرکت، مقدایر شتاب طولی مرکز جرم، شتاب عرضی مرکز جرم و زاویه سمتی خودرو برحسب زمان در دسترس بوده و می‌توانند در ارزیابی قابل پیمایش بودن این مسیر حرکت مورد استفاده قرار گیرند. در ادامه جزئیات این روش به صورت خلاصه بیان خواهد شد.

با توجه به قاعده اول و دقت در معادله (1-a) می‌توان فرض کرد که مقدار  $F_{y_f} \sin \delta$  در مقایسه با  $F_{x_r} \cos \delta + F_{x_f}$  ناچیز است. به طور مشابه در رابطه (4) نیز می‌توان فرض کرد که مقدار  $F_{x_f} \sin \delta$  در مقایسه با  $F_{y_f} \cos \delta + F_{y_r}$  ناچیز است معادلات (1-a) را می‌توان به ترتیب به فرم معادلات (28-a) نوشت.

$$a_{x_{cg}} = \frac{1}{m} (F_{x_f} + F_{x_r} - F_{aero}) \quad (28-a)$$

$$a_{y_{fco}} = \frac{l}{ml_r} F_{y_f} \quad (28-b)$$

با توجه به معلوم بودن شتاب عرضی مرکز جرم، با استفاده از رابطه (28-b) شتاب عرضی مرکز نوسان جلو تعیین می‌گردد. حال با کمک رابطه (28-b) می‌توان مقدار نیروی عرضی تایرهای جلو را تعیین کرد. با جایگزینی  $F_{y_f}$  در رابطه (1-b) می‌توان مقدار  $F_{aero}$  را نیز محاسبه نمود. با فرض این که خودرو مماس بر مسیر مطلوب حرکت کند،  $a_{x_{cg}}$  برابر شتاب طولی مطلوب مرکز جرم است. از طرفی با معلوم بودن سرعت مطلوب و استفاده از رابطه (2)، مقدار  $F_{aero}$  در هر لحظه نیز مشخص می‌گردد. حال می‌توان با استفاده از رابطه (28-a)، مقدار  $(F_{x_f} + F_{x_r})$  را در هر لحظه از مسیر تعیین نمود. برای تعیین مقدار  $F_{x_f}$  و  $F_{x_r}$  نیز می‌توان از قاعده‌های دوم و سوم استفاده کرد (حالت ترمزی رابطه (29) و حالت رانشی رابطه (30)).

$$F_{x_\tau} = \frac{F_{z_\tau}}{mg} (ma_{x_r} + F_{aero}), \quad \tau \in \{f, r\} \quad (29)$$

$$F_{x_f} = (ma_{x_r} + F_{aero}), \quad F_{x_r} = 0 \quad (30)$$

حال با در نظر گرفتن مدل دوچرخه برای خودرو می‌توان ضریب اصطکاک تایرهای جلو و تایرهای عقب در حین حرکت را محاسبه و ماکزیمم ضریب اصطکاک مورد نیاز ( $\mu_{req,max}$ ) را نیز مشخص نمود (رابطه (31)).

$$\mu_{req,max} = \max \left( \frac{\sqrt{F_{x_f}^2 + F_{y_f}^2}}{F_{z_f}}, \frac{\sqrt{F_{x_r}^2 + F_{y_r}^2}}{F_{z_r}} \right) \quad (31)$$

چنان‌چه حداقل در یک نقطه از مسیر حرکت، ماکزیمم ضریب اصطکاک مورد نیاز ( $\mu_{req,max}$ ) بیش از ماکزیمم ضریب اصطکاکی موجود ( $\mu_{ro,max}$ ) باشد، مسیر حرکت غیرقابل پیمایش خواهد بود. برای انتخاب مسیر حرکت بهینه لازم است که برای تک تک مسیرهای پیشنهادی بخش اجتناب از برخورد، مسیر محاسبه شده و با  $\mu_{ro,max}$  مقایسه گردد. در نهایت مسیری که  $\mu_{req,max} < \mu_{ro,max}$  باشد، به عنوان مسیر بهینه انتخاب گردد.

ممکن است این پرسش مطرح شود که آیا معیار حداکثر ضریب اصطکاک مورد نیاز برای انتخاب مسیر کافی است؟ اساساً در انتخاب مسیر

فرض این که در آغاز مانور سرعت طولی خودرو و موقعیت طولی خودرو هدف به ترتیب  $v_0$  و  $x_0$  باشند،تابع موقعیت طولی خودرو هدف به صورت رابطه (23) خواهد بود.

$$X_B(t) = \frac{1}{2} a_{TV} t^2 + v_0 t + x_0 \quad (23)$$

حال که توابع موقعیت نقاط A و B برحسب زمان مشخص گردید، با اعمال شرط عبور ایمن، می‌توان زمان انتهایی مانور ( $t_r$ ) را به دست آورد. با توجه به شکل 5 روشن است که در لحظه رسیدن  $t_r$ ،  $X_A(t_r)$  و  $X_B(t_r)$  برابر است؛ بنابراین با مساوی قرار دادن سمت راست روابط (22) مقدار  $t_r$  تعیین می‌گردد. با معین بودن  $t_r$ ، مقدار  $Y_B(t_r)$  نیز مشخص می‌گردد. برای سادگی  $w_{TV}$  با نماد  $Y_B(t_r)$  نشان داده خواهد شد. با توجه به شکل 5 در زمان  $t_r$  بین موقعیت عرضی نقاط A و B، رابطه (24) برقرار است.

$$Y_A(t_r) = Y_B(t_r) + sd \quad (24)$$

که  $Y_A(t_r)$  با رابطه (25) بیان می‌گردد.

$$Y_A(t_r) = Y_R(t_r) - w_{HW} \cos \psi_R + b_f \sin \psi_R \quad (25)$$

با معلوم بودن  $(Y_R(t_r))$  و  $(v_R(t_r))$  می‌توان  $\psi_R(t_r)$  را محاسبه نمود. در نهایت با توجه به قاعده اول می‌توان رابطه (25) را به فرم ساده شده و به صورت رابطه (26) بیان کرد.

$$Y_A(t_r) = Y_R(t_r) - w_{HW} + b_f \frac{\dot{Y}_R(t_r)}{v_R(t_r)} \quad (26)$$

با جایگزینی  $Y_A(t_r)$  در رابطه (24) و انجام ساده‌سازی‌های مناسب یک معادله درجه 5 برحسب  $t_f$  رابطه (27) حاصل خواهد شد.

$$t_f^5 - 10ht_r^2 \left( t_{c1} + \frac{3b_f}{v_R(t_r)} \right) t_f^2 + 15ht_r^3 \left( t_{c1} + \frac{4b_f}{v_R(t_r)} \right) t_f - 6ht_r^4 \left( t_{c1} + \frac{5b_f}{v_R(t_r)} \right) = 0 \quad (27)$$

با حل رابطه (27)، مقدار  $t_f$  تعیین شده و مسیر حرکت کاملاً معین می‌گردد. در این مرحله برای طراحی مسیر حرکت به ازاء  $a_{HV}$  مختلف، مسیرهای حرکت مختلفی حاصل خواهند شد. هر چند نحوه انتخاب کاملاً اختیاری است، با این حال در این پژوهش فرض می‌شود که از  $a_{HV}$  از ماکزیمم شتاب 1m/s<sup>2</sup> ترمیزی ( $a_{b_{max}}$ ) تا ماکزیمم شتاب رانشی ( $a_{t_{max}}$ ) ممکن و با گام 1m/s<sup>2</sup> انتخاب گردد. بدیهی است که به ازاء هر شتاب یک مسیر حرکت حاصل خواهد شد. با این حال مسیرهایی که سرعت انتهایی خودرو در آن‌ها خارج از محدوده سرعت مجاز بزرگراه ( $V_{min} V_{max}$ ) باشد، قابل قبول نخواهند بود.

## 5- ارزیابی قابل پیمایش بودن مسیر حرکت

ارزیابی قابل پیمایش بودن مسیر حرکت در حالت کلی مسئله بسیار پیچیده‌ای است. چرا که باید هم دینامیک خودرو و هم دینامیک تایر در نظر گرفته شوند. در واقع اگر بدون توجه به ظرفیت‌های دینامیک خودرو و دینامیک تایر مسیر حرکتی طراحی شود، با وجود به کارگیری یک کنترلی خوب ممکن است حرکت خودرو ناپایدار گردد. به عنوان مثال فرض کنید که هم‌زمان با کاهش سرعت طولی، زاویه فرمان شدیدی هم اعمال شود. در چنین شرایطی ممکن است تایر نتواند هم‌زمان نیروی طولی و عرضی لازم را تأمین نماید (ظرفیت کل نیروی تایر محدود است) و خودرو ناپایدار خواهد شد. در این بخش هدف این است که با ارائه یک رویکرد جدید، بدون حل معادلات دیفرانسیل (شامل دینامیک چرخ، معادلات حرکت خودرو و کنترل کننده) و تنها با حل یک مجموعه معادلات جبری ساده ارزیابی قابل پیمایش بودن برای مانورهای سرعت بالا انجام پذیرد. این ارزیابی بر مبنای ظرفیت اصطکاکی تایر و جاده است. در واقع چنان‌چه مجموعه تایر و جاده

مشتق‌های آن) با گشتاورهای اعمالی به چرخ‌ها استخراج گردد. با ترکیب دینامیک طولی و معادله حرکت چرخ می‌توان این ارتباط را برقرار نمود. برای این منظور کافیست که برای هر تایر، نیروی طولی آن در رابطه (1-a) را با مقدار معادل از رابطه (6) جایگزین گردد. ممکن است این پرسش مطرح شود که چون در رابطه (1-a) زاویه فرمان و نیروهای عرضی تایرهای جلو نیز ناشخص هستند؛ بنابراین نمی‌توان از این روش استفاده کرد؟ در پاسخ باید گفت که اثر نیروی عرضی تایرهای در دینامیک طولی اندک بوده و در مراجع مختلف از آن‌ها صرف نظر شده است [6]. با این حال در این پژوهش به منظور افزایش دقت پیشنهاد می‌شود که از زاویه فرمان و نیروهای عرضی مرحله پیشین استفاده شود. در ادامه معادلات مربوط به استخراج ورودی کنترلی به اختصار بیان خواهد گردید.

ابتدا سطح لغزش طبق رابطه (32) تعریف می‌شود.

$$s_x = (v_x - v_r) \quad (32)$$

حال از سطح لغزش  $s_x$  مشتق گرفته و حاصل برابر صفر فرض می‌شود. در ادامه به جای  $v_x$ ، عبارت معادل آن از رابطه (1-a) را جایگزین نموده تا رابطه (33) حاصل گردد.

$$\frac{F_{x_f} \cos \delta - F_{y_f} \sin \delta + F_{x_r} - F_{aero}}{m} + v_y \dot{\psi} - \dot{v}_r = 0 \quad (33)$$

آن‌ها ظاهر شده در رابطه (41)، زاویه فرمان مرحله قبل بوده که معین است. اکنون برای هر یک از تایرهای، نیروی طولی با عبارت معادل آن از رابطه (6) جایگزین می‌شود. پس از ساده‌سازی‌های روابط، رابطه (34) حاصل می‌گردد.

$$T_{t_{eq}} = R_w(f_r F_{z_f} \cos \bar{\delta} + f_r F_{z_r} + F_{y_f} \sin \bar{\delta} + F_{aero} - m v_y \dot{\psi} + m \dot{v}_r) + 2 I_w(\dot{\omega}_f \cos \bar{\delta} + \dot{\omega}_r) \quad (34)$$

همچنین  $T_{t_{eq}} = (T_f \cos \bar{\delta})_{eq} + T_{r_{eq}}$  است. برای در نظر گرفتن عدم قطعیت‌های احتمالی، باید به ورودی معادل  $T_{t_{eq}}$ ، ترم ورودی ضربه را اضافه نمود. گشتاور کل مورد نیاز با رابطه (35) تعریف می‌شود.

$$T_t = T_{t_{eq}} - K \text{sat}(s_x, \emptyset_x) \quad (35)$$

در رابطه (35) همان تابع اشباع است. ثابت  $K_x$  نیز با توجه به اندازه عدم قطعیت‌ها تعیین می‌گردد.  $\emptyset_x$  یا همان ضخامت لایه مرزی نیز باید به نحوی انتخاب گردد که ضمن حفظ دقت کنترلی از بروز پدیده لرزش جلوگیری شود. اثبات پایداری کنترل طولی در پیوست الف ارائه شده است. حال باید گشتاور اعمالی به چرخ‌های جلو و عقب نیز تعیین گردد. برای حالت ترمزگیری با توجه به قاعده دوم می‌توان گشتاور اعمالی به چرخ‌های جلو  $(T_f)$  و عقب  $(T_r)$  را از رابطه (36) محاسبه نمود.

$$T_f = \frac{F_{z_f}}{F_z} T_t \quad \& \quad T_r = \frac{F_{z_r}}{F_z} T_t \quad (36)$$

برای حالت رانشی نیز با توجه به قاعده سوم، می‌توان گشتاور اعمالی به هر یک از چرخ‌های جلو و عقب را به کمک رابطه (37) تعیین کرد.

$$T_f = T_t \quad \& \quad T_r = 0 \quad (37)$$

## 6- کنترل عرضی

هدف کنترل کننده عرضی این است که مرکز جرم خودرو بر مسیر مطلوب حرکت نموده و همچنین خودرو پایدار باشد. مشابه کنترل طولی برای استفاده از رویکرد کنترلی مرجع [24] باید یک رابطه بین موقعیت عرضی مطلوب (یا یکی از مشتقات آن) با زاویه فرمان استخراج گردد. در اینجا نیز هر چند ورودی کنترلی به صورت مستقیم در معادلات ظاهر نشده، اما با توجه به روشی که مطرح خواهد شد، می‌توان این ارتباط را برقرار نمود. با فرض این که  $\gamma$  و  $\gamma_r$  به ترتیب معرف موقعیت عرضی خودرو و موقعیت

حرکت معیارهای مختلفی مانند اجتناب از برخورد، پایداری، راحتی سرنشین، مصرف سوخت و غیره را می‌توان در نظر گرفت. چنان‌چه مانور مورد نظر یک مانور تعویض خط معمولی باشد، طبیعتاً تمام معیارها مهم خواهند بود. با این حال برای مانورهای بحرانی مسئله متفاوت است. در این مانورها اجتناب از برخورد و پایداری خودرو اولویت اصلی بوده و سایر معیارها اهمیت اندکی دارند. نظر به این‌که در این پژوهش شرط اجتناب از برخورد برای خودرو تأمین کنند، مسیر مطلوب خواهد بود. طبق رابطه (10-b) با افزایش ضریب اصطکاک، لغزش کل تایر افزایش یافته و سبب افزایش زاویه لغزش جانبه خودرو خواهد گردید. افزایش زاویه لغزش جانبه نیز به این معناست که خودرو به نایابداری نزدیک‌تر شده است. با توجه به این نکات در نهایت می‌توان نتیجه گرفت که برای مانور بحرانی مورد نظر معیار حداکثر ضریب اصطکاک مورد نیاز یک معیار مناسب است.

## 6- کنترل یکپارچه طولی- عرضی

هنگام هدایت خودرو در مانورهای بحرانی، کنترل یکپارچه دینامیک طولی و دینامیک عرضی اجتناب‌نایابی است. در پژوهش‌های انجام شده، روش‌های کنترلی مختلفی برای حل این مسئله جالب پیشنهاد شده است. در ادامه به برخی از مهم‌ترین محدودیت‌های این پژوهش‌ها اشاره می‌گردد. شمار زیادی از تحقیقات بر مبنای مدل سینماتیکی خودرو انجام پذیرفته است [19,18]. عمدۀ پژوهش‌ها نیز در طراحی کنترل کننده از یک مدل دینامیکی خطی بهره برده‌اند [20]. شماری از مراجع نیز تها کنترل یکپارچه طولی و عرضی را برای بحث اجتناب از برخورد بررسی نموده‌اند [22,21]. طبیعتاً با توجه به در نظر نگرفتن شتاب رانشی، روش‌های ارائه شده توسط این مراجع برای تمامی مانورها قابل استفاده نخواهند بود. یکی از پژوهش‌هایی که در بحث طراحی کنترل یکپارچه، دینامیک غیرخطی خودرو را در نظر گرفته، تحقیق اتیا و همکاران است [23]. در بحث کنترل طولی ایشان از ایده تابع لیاپانوف استفاده نموده و همچنین فرض کرده‌اند که جرم خودرو، اینرسی تایر و گشتاور غلتشی مقاوم دارای عدم قطعیت باشد. در این پژوهش برای کنترل طولی از مدل تک چرخ خودرو استفاده شده و همچنین از لغزش طولی تایر نیز صرف نظر شده است. برای کنترل عرضی نیز از رویکرد کنترل پیش‌بین استفاده گردیده است. از جمله معایب این تحقیق می‌توان به هزینه محاسباتی بالا و همچنین امکان گرفتار شدن در مینیمم محلی در حین انجام مسئله بهینه‌سازی اشاره نمود. با توجه به توضیحات اخیر می‌توان نتیجه گرفت که مسئله کنترل یکپارچه خودرو در مانورهای بحرانی کمتر مورد توجه قرار گرفته است.

در این بخش با استفاده از رویکرد کنترلی مود لغزشی مرجع [24]، یک کنترل کننده یکپارچه برای کنترل سرعت طولی و همچنین کنترل موقعیت عرضی ارائه خواهد گردید. در کنترل طولی، ورودی کنترلی، گشتاورهای اعمالی به چرخ‌ها (رانشی / ترمزی) و در کنترل عرضی، ورودی کنترلی، زاویه فرمان است.

## 6- کنترل طولی

در این پژوهش هدف کنترل طولی این است که سرعت طولی مرکز جرم خودرو ( $v_x$ ) برای سرعت طولی مطلوب ( $v_R$ ) باشد. برای استفاده از رویکرد مود لغزشی مرجع [24] باید، یک رابطه بین سرعت طولی (یا یکی از

**جدول 2** توصیف فرضیات مانور  
**Table 2 Description of maneuver assumptions**

مقدار	واحد	نماد پارامتر
110	km/h	$v_0$
6	m	$x_0$
3	m	$h$
-8	$m/s^2$	$a_{b\max}$
5	$m/s^2$	$a_{t\max}$
125	km/h	$V_{\max}$
70	km/h	$V_{\min}$
0.85	m	$w_{TV}$
-8	$m/s^2$	$a_{TV}$
0.6	m	$sd$
0.52	---	$\mu_{ro,max}$
20	---	$K$

شتاب رانشی بیش از  $3 m/sec^2$  نیز غیرقابل قبول خواهد بود. به طور مشابه با بررسی مسیر حرکت شماره 9 (شتاب ترمی  $5 m/sec^2$ ) نیز می‌توان گفت که سرعت خودرو در انتهای این مسیر حرکت نیز  $56 km/h$  است که کمتر از مینیمم سرعت مجاز  $70 km/h$  است؛ بنابراین تمام مسیرهای حرکتی که مقدار شتاب ترمی آن‌ها بیش از  $5 m/sec^2$  باشد، غیرقابل قبول خواهند بود. به جهت اختصار سایر مسیرهای حرکت پیشنهادی که سرعت انتهای آن‌ها خارج از محدوده سرعت بزرگراه بوده است، در جدول 3 بیان نشده‌اند. با توجه به جدول 3 مشاهده می‌شود که ماکریم ضریب اصطکاک مورد نیاز در مسیرهای شماره 2 و 3 از ماکریم اصطکاک موجود (0.52) بیشتر بوده و این مسیرها نیز غیرقابل قبول است.

با دقت بیشتر در نتایج جدول 3 نتایج بسیار جالبی حاصل خواهد گردید. برای درک بهتر این نتایج در ادامه تک تک مسیرهای حرکت قابل قبول به دقت بررسی می‌شود. در مسیر حرکت شماره 4 لغزش‌های طولی تقریباً صفر بوده و در نتیجه نیروهای طولی مورد نیاز ناچیز است. با این حال به دلیل کوتاه بودن زمان مانور (نسبت به سایر مسیرهای قابل قبول)، شتاب عرضی تحمیل شده به خودرو بالا بوده و در نتیجه نیروهایی عرضی مورد نیاز نیز بزرگ است. در نهایت برآیند نیروهای تایر مورد نیاز به گونه‌ای است که ماکریم ضریب اصطکاک مورد نیاز در تایرهای جلو رخ داده و برابر 0.47 است. در مسیر حرکت شماره 5، با اعمال شتاب ترمی  $1 m/sec^2$  - شرایط بهبود یافته است. در این مسیر حرکت به دلیل اعمال ترمز، نیروی طولی مورد نیاز تایر نسبت به مسیر شماره 4 افزایش یافته، اما از طرف دیگر با افزایش زمان مانور (از  $1.95 sec$  به  $2.08 sec$ )، ماکریم شتاب عرضی کاهش و در نتیجه نیروی عرضی لازم نیز کاهش یافته است. در نهایت برآیند این افزایش و کاهش به گونه‌ای بوده که ماکریم نیروی مورد نیاز تایر و در نتیجه

عرضی مطلوب باشند، خطا (e) به صورت  $Y_R - Y$  تعریف می‌شود. همچنین سطح لغزش نیز با رابطه (38) تعریف می‌گردد.

$$ss_y = \left( \frac{d}{dt} + \lambda_y \right) e, \quad \lambda_y > 0 \quad (38)$$

با مشتق‌گیری از سطح لغزش  $ss_y$  و برابر صفر قرار دادن آن می‌توان  $\dot{v}_y$  را محاسبه نمود.

$$\dot{v}_y = \frac{v_y \dot{\psi} \sin \psi - \dot{v}_x \sin \psi + \ddot{Y}_R - \lambda_y (v_x \sin \psi - \dot{Y}_R)}{\cos \psi} - v_x \dot{\psi} - \lambda_y v_y \quad (39)$$

همچنین با استفاده از دینامیک عرضی مرکز نوسان جلو نیز می‌توان مقدار  $\dot{v}_y$  را تعیین کرد. (روابط (4)).

$$\dot{v}_y = \frac{l}{ml_r} [F_{x_f} \sin \bar{\delta} + F_{y_f} \cos \bar{\delta}] - v_x \dot{\psi} - l_{fco} \ddot{\psi} \quad (40)$$

با مساوی قرار دادن عبارت‌های معادل  $\dot{v}_y$  از روابط (39) مجموع نیروی عرضی تایرهای جلو مشخص می‌گرددند (رابطه (41)).

$$(F_{y_f})_{eq} = \frac{ml_r [v_y \dot{\psi} \sin \psi - \dot{v}_x \sin \psi + \ddot{Y}_R - \lambda_y (v_x \sin \psi - \dot{Y}_R)]}{l \cos \bar{\delta} \cos \psi} + \frac{ml_r (l_{fco} \ddot{\psi} - \lambda_y v_y)}{l \cos \bar{\delta}} - F_{x_f} \tan \bar{\delta} \quad (41)$$

حال با استفاده از روابط (8), (16), (14-a), (10-a), (1) می‌توان زاویه فرمان معادل را بر حسب  $(F_{y_f})_{eq}$  استخراج نمود (42).

$$\delta_{eq} = \frac{s_f}{K_{\alpha_f} \mu_f F_{z_f}} (F_{y_f})_{eq} + \tan^{-1} \left( \frac{v_y + \dot{\psi} l_f}{v_x} \right) \quad (42)$$

به منظور در نظر گرفتن عدم قطعیت‌های موجود باید به ورودی معادل  $\delta_{eq}$ ، ترم ورودی ضربه نیز اضافه گردد؛ بنابراین زاویه فرمان مورد نیاز را می‌توان با استفاده از رابطه (43) محاسبه نمود.

$$\delta = \delta_{eq} - k_y \text{sat}(s_y, \emptyset_y) \quad (43)$$

مشابه کنترل طولی در رابطه (43) ثابت  $Y_R$  با توجه به اندازه عدم قطعیت‌ها تعیین می‌گردد. همچنین  $\emptyset_y$  یا همان ضخامت لایه مرزی نیز باید به نحوی انتخاب شود که ضمن حفظ دقت کنترلی از بروز پدیده لرزش نیز اجتناب گردد. اثبات پایداری کنترل عرضی در پیوست ب ارائه شده است.

## 7- شبیه‌سازی الگوریتم هدایت یکپارچه طولی و عرضی خودرو

در این بخش نتایج شبیه‌سازی در دو حوزه طراحی مسیر حرکت و پیاده‌سازی کنترل یکپارچه برای مانور برخورد بحرانی ارائه خواهد گردید. نظر به این که کلیات مانور در انتهای بخش مقدمه بیان شد، از تکرار آن خودداری گردیده و مشخصات مانور به صورت خلاصه در جدول 2 ارائه شده است. در مانور مورد نظر فرض بر این بوده که شتاب ترمی خودرو هدف و موقعیت عرضی نقطه  $B$  بر حسب زمان ثابت باشند.

### 7-1- نتایج شبیه‌سازی بخش طراحی مسیر حرکت

خلاصه نتایج شبیه‌سازی طراحی مسیر حرکت برای مانور مورد نظر در جدول 3 بیان شده است. با دقت در نتایج مسیرهای حرکت مشاهده می‌شود که در شرایط ترمزگیری و رانشی به ترتیب تایرهای عقب و تایرهای جلو بحرانی خواهند بود. با بررسی شتاب خودرو و سرعت انتهایی مانور در مسیر حرکت شماره 1 (شتاب رانشی  $3 m/sec^2$ ، مشاهده می‌شود که سرعت خودرو میزبان در انتهای این مسیر حرکت برابر 128 km/h است. در نتیجه می‌توان گفت که این ماکریم سرعت مجاز (125 km/h) است. در نتیجه می‌توان گفت که تمام مسیرهای حرکت با سرعت حرکت غیرقابل قبول است. بدینهی است که تمام مسیرهای حرکت با

**جدول 3** معرفی و ارزیابی مسیرهای حرکت

**Table 3 Illustration and evaluation of trajectories**

شماره	شتاب	سرعت نهایی	ماکریم ضریب اصطکاک مورد نیاز	زمان مانور	تایرهای عقب	تایرهای جلو	مسیر
	(km/h)	(m/s <sup>2</sup> )		(sec)			
0.573	0.928	1.69	3	1.69	128	0.928	1
0.54	0.741	1.77	2	2	122	0.741	2
0.504	0.584	1.85	1	1	116	0.584	3
0.466	0.47	1.95	0	0	110	0.47	4
0.438	0.417	2.08	-1	-1	103	0.417	5
0.433	0.396	2.23	-2	-2	94	0.396	6
0.452	0.41	2.42	-3	-3	84	0.41	7
0.492	0.455	2.67	-4	-4	72	0.455	8
0.551	0.524	3.05	-5	-5	56	0.524	9

تعقیب سرعت مطلوب موفق بوده به گونه‌ای که ماکزیمم خطای تعقیب کمتر از  $0.5 \text{ km/h}$  است. از منظر ورودی کنترلی نیز تغییرات گشتاورهای اعمالی به چرخ‌ها نیز کاملاً پیوسته و هموار است (شکل 11). با توجه به این که در حالت ترمزگیری نیروی نرمال تایرهای جلو بیشتر از نیروی نرمال تایرهای عقب می‌باشد، گشتاور اعمالی به این تایرهای نیز بیشتر خواهد بود.

یکی از مباحث مهمی که حتماً باید مورد توجه قرار گیرد، بحث خطای موقعیت طولی نقطه A از خودرو میزبان است. چنان‌چه کنترل سرعت به خوبی انجام نپذیرد، تفاوت موقعیت طولی مطلوب و موقعیت طولی واقعی زیاد شده و ممکن است برخورد رخ دهد. برای این منظور منحنی تغییرات خطای موقعیت طولی برحسب زمان در شکل 12 نشان داده شده است. با دقت در شکل 12 مشاهده می‌شود که در لحظه رسیدن دو خودرو به یکدیگر (۱.۴ ثانیه) خطای موقعیت طولی اندک و تقریباً  $20 \text{ cm}$  است. همان‌طور که در انتها بخش پیشین اشاره شد در زمان رسیدن دو خودرو شرط فاصله ایمن رعایت شده است؛ بنابراین از این نظر نگرانی وجود ندارد.

عملکرد تعقیب موقعیت عرضی خودرو در شکل‌های 13-16 نشان داده شده است.

با دقت در شکل‌های 13 و 14 مشاهده می‌گردد که کنترل عرضی ماموریت خود را به نحو شایسته‌ای انجام داده، به گونه‌ای که ماکزیمم خطای

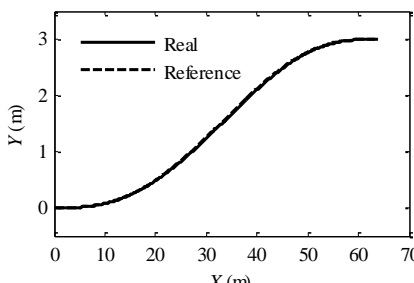


Fig. 8 تعقیب مسیر حرکت در مانور تعویض خط

شکل 8 تعقیب مسیر حرکت در مانور تعویض خط

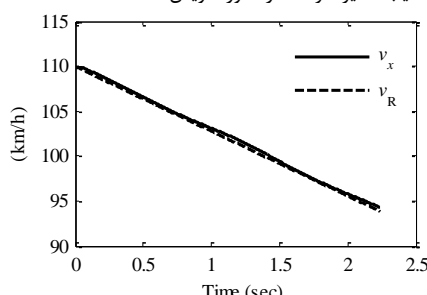


Fig. 9 Longitudinal speed tracking

شکل 9 تعقیب سرعت طولی

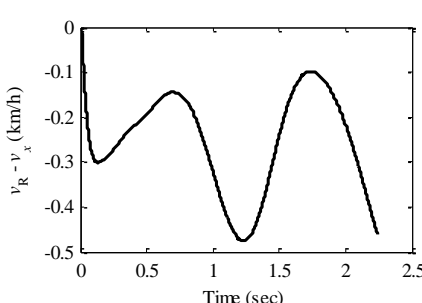


Fig. 10 Longitudinal speed tracking error

شکل 10 خطای تعقیب سرعت طولی

ماکزیمم ضریب اصطکاک مورد نیاز کاهش یافته است (از ۰.۴۷ به ۰.۴۳۸). با افزایش شتاب ترمزی به  $2 \text{ m/sec}^2$  در مسیر شماره 6 اتفاق بسیار جالبی رخ می‌دهد. در واقع با افزایش بیشتر شتاب ترمزی نسبت به مسیر حرکت شماره 5 ماکزیمم ضریب اصطکاک مورد نیاز تقریباً ثابت باقی می‌ماند (۰.۴۳۳). علت این پدیده را می‌توان به این صورت بیان کرد که در این مسیر حرکت در مقایسه با مسیر حرکت شماره 5، افزایش نیروی طولی تایر تقریباً با کاهش نیروهای عرضی تایر برابر بوده و ماکزیمم اصطکاک مورد نیاز تغییری نکرده است. با توجه به این نکته می‌توان انتظار داشت که با افزایش بیشتر شتاب ترمزی، ماکزیمم اصطکاک مورد نیاز افزایش خواهد یافت. با بررسی نتایج مسیرهای حرکت شماره 7 و 8 صحبت این نکته به خوبی اثبات می‌شود. با توجه به توضیحات اخیر چنان‌چه معیار بهینه بودن کمترین اصطکاک مورد نیاز باشد، می‌توان گفت که از میان مسیرهای قبل قبول مسیر شماره 6 با ماکزیمم ضریب اصطکاک مورد نیاز ۰.۴۳۳ مسیر بهینه است. لازم به ذکر است که برای شبیه‌سازی کنترل یکپارچه مسیر حرکت شماره 6 انتخاب شده است. در انتهاهای این بخش به منظور نمایش عدم برخورد خودروها تغییرات موقعیت‌های طولی و عرضی نقاط A و B برحسب زمان به ترتیب در شکل‌های 6 و 7 نشان داده شده‌اند. با توجه به شکل 6 مشاهده می‌شود که دو خودرو پس از طی مسافت طولی  $43 \text{ m}$  در زمان  $1.4$  ثانیه به یکدیگر خواهند رسید. همچنین با دقت در شکل 7 مشاهده می‌شود که در این زمان موقعیت عرضی نقاط A و B به ترتیب  $1.45 \text{ m}$  و  $0.85 \text{ m}$  است. در واقع فاصله دو خودرو در زمان رسیدن  $0.6 \text{ m}$  است.

## 7-2- نتایج شبیه‌سازی بخش کنترل یکپارچه

عملکرد کلی کنترل کننده یکپارچه در شکل 8 نشان داده شده است. با توجه به شکل 8 روشن است که مسیر حرکت واقعی بر مسیر حرکت مطلوب منطبق است. در ادامه مؤلفه‌های حرکت طولی و عرضی خودرو مورد بررسی قرار خواهد گرفت. عملکرد طولی خودرو در شکل‌های 9-12 نشان داده شده است. با دقت در شکل‌های 9 و 10 مشاهده می‌شود که کنترل کننده طولی در

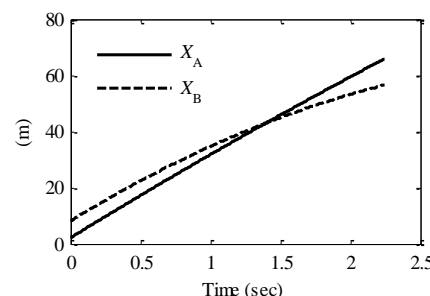


Fig. 6 Longitudinal positions of points A and B vs. time

شکل 6 موقعیت طولی نقاط A و B برحسب زمان

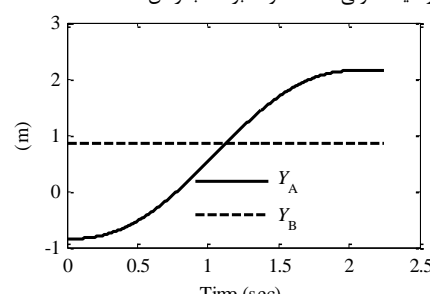
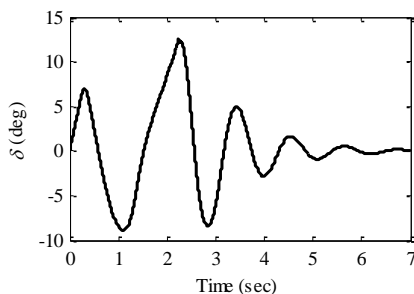


Fig. 7 Lateral positions of points A and B vs. time

شکل 7 موقعیت عرضی نقاط A و B برحسب زمان

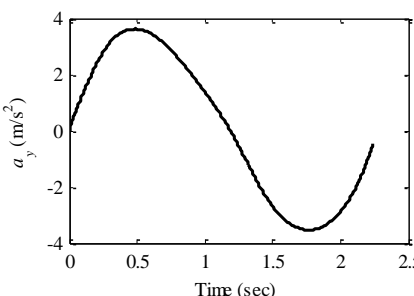


**Fig. 16** Steering angle while lane change and a few seconds later  
شکل ۱۶ زاویه فرمان در حین مانور تعویض خط و چند ثانیه بعد

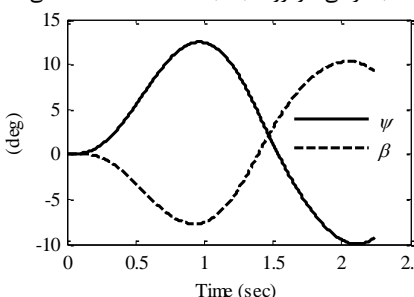
موقعیت عرضی کمتر از ۱ cm است. همچنین با توجه به شکل ۱۵ روش است که تغییرات ورودی زاویه فرمان کاملاً پیوسته و هموار است. ممکن است این پرسش مطرح شود که چرا در انتهای مانور (۲.۲۵ ثانیه)، زاویه فرمان همچنان در حال افزایش است؟ در پاسخ باید گفت که به علت بالا بودن زاویه لغزش در انتهای مانور، خودرو هنوز مماس بر مسیر حرکت مطلوب نشده و زاویه فرمان صفر نخواهد بود. البته با حرکت خودرو در مسیر مستقیم به تدریج زاویه فرمان صفر خواهد شد. این مسئله به خوبی در شکل ۱۶ نشان داده شده است.

به منظور تشریح بیشتر عملکرد کنترل یکپارچه، منحنی شتاب عرضی، تغییرات زاویه سمتی و زاویه لغزش جانبی به ترتیب در شکل‌های ۱۷ و ۱۸ نشان داده شده‌اند.

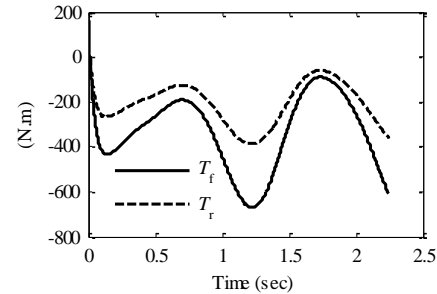
با توجه به شکل ۱۷ مشاهده می‌شود که مانع از مسیر شتاب عرضی در حدود ۴ m/s<sup>2</sup> است. با مقایسه منحنی شتاب عرضی و مسیر حرکت مطلوب (شکل ۸) می‌توان دریافت که مانع از تغییرات شتاب عرضی تقریباً در نقاطی از مسیر که داری بیشترین انحنای می‌باشد، رخ داده است. همچنین هنگامی که مرکز جرم خودرو میزان به نیمه موقعیت عرضی مطلوب (1.5 m) رسیده، میزان شتاب عرضی تقریباً صفر است (شکل‌های ۱۳ و ۱۷). در این نقطه از مسیر



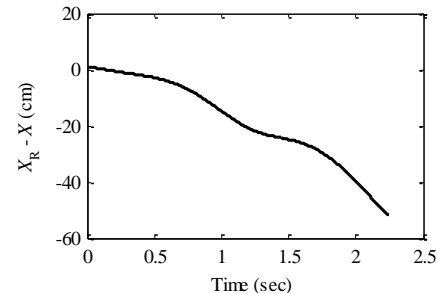
**Fig. 17** Local lateral Acceleration  
شکل ۱۷ شتاب عرضی خودرو نسبت به دستگاه مختصات محلی



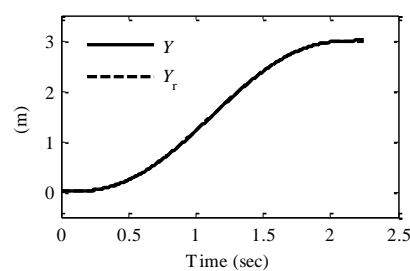
**Fig. 18** Heading angle and sideslip angle  
شکل ۱۸ تغییرات زاویه سمتی و زاویه لغزش جانبی



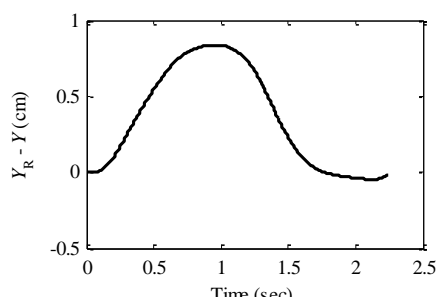
**Fig. 11** Required torques at the front and rear wheels  
شکل ۱۱ گشتاور اعمالی به چرخ‌های جلو و عقب



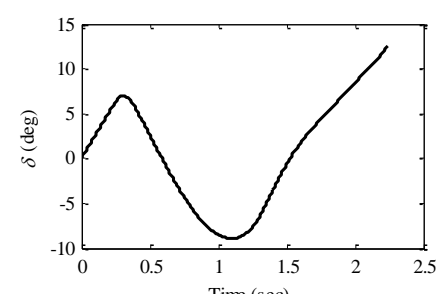
**Fig. 12** Longitudinal position error of point A  
شکل ۱۲ تعییب موقعیت طولی نقطه A



**Fig. 13** Lateral position tracking  
شکل ۱۳ تعییب موقعیت عرضی



**Fig. 14** Lateral position tracking error  
شکل ۱۴ خطای تعییب موقعیت عرضی



**Fig. 15** Steering angle input for the lane change maneuver  
شکل ۱۵ ورودی زاویه فرمان در مانور تعویض خط حرکت

اشارة نمود. در بحث اجتناب از برخورد می‌توان حرکت خودروهای خط مجاور را نیز در نظر گرفت. همچنین برای نزدیک شدن به شرایط واقعی از مدل چهار چرخ خودرو استفاده کرد. در این پژوهش فرض بر این بود که ضرایب فرمول تایر مشخص است. با این حال برای جامع بودن الگوریتم هدایت یکپارچه نیاز به یک روش مناسب، برای شناسایی برخط این ضرایب به خوبی احسان می‌شود.

## 9- پیوست

### 9-1- پیوست الف: اثبات پایداری کنترل طولی

چنان‌چه تابع لیپانوف به صورت  $V_x = 0.5s_x^2$  فرض شود، برای پایداری کنترل طولی کافیست اثبات شود که به ازاء  $0 < \eta_x < 1-a$  نامساوی (1-a) همواره برقرار است.

$$s_x \leq -\eta_x |s_x| \quad (1-a)$$

ابتدا از  $s_x$  مشتق گرفته تا  $\dot{v}_x$  ظاهر شود (2-a).

$$\dot{s}_x = (\dot{v}_x - \dot{v}_R) \quad (2-a)$$

در ادامه با ترکیب روابط (6, 1-a) در رابطه (2-a)، به جای  $\dot{v}_x$ ، عبارت معادل آن بر حسب گشتاور اعمالی به چرخها جایگزین می‌گردد تا رابطه (3-a) حاصل شود.

$$\begin{aligned} \dot{s}_x &= \frac{(T_f \cos \delta + T_r) + F_{y_f} \sin \delta - 2I_w(\dot{\omega}_f \cos \delta + \dot{\omega}_r)}{m R_w} \\ &\quad - \frac{(f_r F_{z_f} \cos \delta + f_r F_{z_r}) + F_{aero}}{m} + v_y \dot{\psi} - v_R \end{aligned} \quad (3-a)$$

اکنون در رابطه (3-a) به جای  $(T_f \cos \delta + T_r)$  عبارت معادل آن از رابطه (35) جایگزین می‌گردد. در نهایت با جایگزینی  $\dot{s}_x$  حاصله در نامساوی (1-a) و ساده سازی روابط، نامساوی (4-a) بدست می‌آید.

$$-K_x \text{sat}(s_x, \emptyset_x) s_x \leq -m R_w \eta_x |s_x| \quad (4-a)$$

اگر  $s_x = 0$  باشد، نامساوی (4-a) برقرار است. همچنین چنان‌چه باشند، با انتخاب  $K_x \geq m R_w \eta_x$  نامساوی (4-a) همواره معتبر خواهد بود.

### 9-2- پیوست ب: اثبات پایداری کنترل عرضی

چنان‌چه تابع لیپانوف به صورت  $V_y = 0.5s_y^2$  فرض شود، برای پایداری کنترل عرضی کافیست اثبات شود که به ازاء  $0 < \eta_y < 1-b$  نامساوی (1-b) همواره برقرار است.

$$s_y \leq -\eta_y |s_y| \quad (1-b)$$

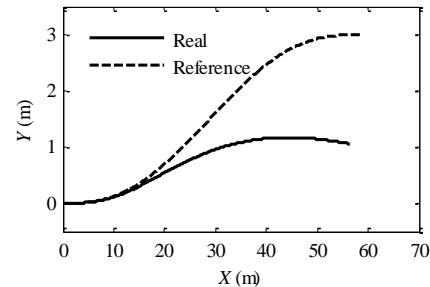
ابتدا از  $s_y$  مشتق گرفته تا  $\dot{v}_y$  ظاهر شود، سپس به جای  $\dot{v}_y$  مقدار معادل آن از رابطه (40) جایگزین شده، تا رابطه (2-b) حاصل گردد.

$$\begin{aligned} \dot{s}_y &= \left( \frac{l}{ml_r} [F_{x_f} \sin \delta + F_{y_f} \cos \delta] - v_x \dot{\psi} - l_{fco} \ddot{\psi} \right) \cos \psi \\ &\quad - v_y \dot{\psi} \sin \psi + v_x \sin \psi + v_x \dot{\psi} \cos \psi - \dot{Y}_R \\ &\quad + \lambda_y (v_y \cos \psi + v_x \sin \psi - \dot{Y}_R) \end{aligned} \quad (2-b)$$

حال در معادله (2-b)، به جای  $F_{y_f}$ ، عبارت معادل آن بر حسب  $\delta$  از رابطه (42) جایگزین می‌گردد. در نهایت با قرار دادن  $\dot{Y}_R$  حاصله در نامساوی (1-b) و ساده سازی روابط، نامساوی (3-b) حاصل خواهد شد.

$$-K_y \text{sat}(s_y, \emptyset_y) s_y \leq \frac{-ml_r s_f \eta_y}{l \mu_f K_{\alpha_f} F_{z_f} \cos \delta \cos \psi} |s_y| \quad (3-b)$$

اگر  $s_y = 0$  باشد، نامساوی (3-b) برقرار است، همچنین چنان‌چه باشند، با انتخاب  $K_y \geq (ml_r s_f \eta_y) / (l \mu_f K_{\alpha_f} F_{z_f} \cos \delta \cos \psi)$  نامساوی (3-b)، همواره معتبر خواهد بود.



شکل 19 تعقیب یک مسیر حرکت غیرقابل قبول برای مانور تعویض خط

نهایت صفر بوده و شعاع انحنای بی‌نهایت است. با دقت در تغییرات زاویه سمتی

و زاویه لغش جانبی (شکل 18) مشاهده می‌شود که بیشترین زاویه لغش جانبی در بخش انتهایی مانور رخ داده و برابر  $10^\circ$  است، البته این مقدار شروع به کم شدن نموده و به تدریج صفر خواهد شد.

در انتهای این بخش به منظور ارزیابی صحت روش طراحی مسیر حرکت، عملکرد کنترل کننده یکپارچه برای یک مسیر غیرقابل قبول ارائه می‌گردد. برای این منظور مسیر حرکت شماره 3، ماکزیمم ضریب اصطکاک مورد نیاز آن 0.584، انتخاب شده است. عملکرد کلی کنترل یکپارچه برای این مسیر

حرکت در شکل 19 نشان داده شده است.

با توجه به شکل 19 روشن است که طبق انتظار، خودرو قادر به تعقیب این مسیر حرکت نبوده و کاملاً از مسیر حرکت مرجع منحرف گردیده است. در نهایت می‌توان گفت که ارزیابی انجام شده توسط روش طراحی مسیر حرکت مبنی بر غیرقابل پیمایش بودن مسیر حرکت شماره 3 کاملاً صحیح بوده است.

## 8- نتیجه‌گیری

در این مقاله یک الگوریتم برای هدایت یکپارچه طولی- عرضی خودرو در مانورهای تعویض خط سرعت بالا ارائه گردید. این الگوریتم راهکارهای مناسبی برای مسئله طراحی مسیر حرکت مطلوب و مسئله تعقیب مسیر حرکت ارائه نمود. نتایج شبیه‌سازی‌های انجام شده برای یک مانور اجتناب از برخورد بحرانی به خوبی کارائی و قابلیت‌های بالای الگوریتم پیشنهادی را به نمایش گذاشت. مهم‌ترین ویژگی‌های الگوریتم پیشنهادی به شرح زیر است.

1- به منظور در نظر گرفتن رفتار واقعی خودرو، هم در بحث طراحی مسیر حرکت و هم در بحث طراحی کنترل کننده یکپارچه، علاوه‌بر انتقال بار طولی خودرو، دینامیک غیرخطی تایر نیز در نظر گرفته شده است.

2- روش پیشنهادی علاوه‌بر مانورهای سرعت ثابت برای مانورهای بحرانی ترمز‌گیری/ شتاب‌گیری نیز قابل استفاده بوده و نتایج قابل قبولی ارائه می‌کند.

3- در مقایسه با سایر تحقیقات، نظر به این که محاسبات طراحی مسیر حرکت به صورت جبری انجام پذیرفت، هزینه محاسباتی آن بسیار اندک بوده و این ویژگی در کاربرد برخط بسیار ارزشمند است.

4- کنترل کننده یکپارچه طولی- عرضی پیشنهادی، مسیر مطلوب را با دقت بالا تعقیب نموده و پایداری خودرو نیز تضمین گردیده است.

5- در الگوریتم ارائه شده سعی بر این بوده که طراحی مسیر حرکت و طراحی کنترل یکپارچه بر مبنای داده‌هایی انجام شوند که توسط تجهیزات موجود قابل اندازه‌گیری یا شناسایی باشند.

در ادامه این پژوهش و به عنوان فعالیت‌های آتی می‌توان به موارد ذیل

## ۱۰- مراجع

- [14] Y. Cong, O. Sawodny, Hong Chen, J. Zimmermann, A. Lutz, Motion planning for an autonomous vehicle driving on motorways by using flatness properties, *Proceedings of The 2010 IEEE International Conference on Control Applications*, Japan, Yokohama, September 8-10, 2010.
- [15] X. Li, Z. Sun, Q. Zhu, D. Liu, A unified approach to local trajectory planning and control for autonomous driving along a reference path, *Proceedings of The 2014 IEEE International Conference on Mechatronics and Automation*, China, Tianjin, August 3-6, 2014.
- [16] A. Cadkhodajafarian, A. Analooee, S. Azadi, R. Kazem, Collision-free navigation and control for autonomous vehicle in complex urban environments, *Modares Mechanical Engineering*, Vol. 17, No. 11, pp. 277-288, 2017. (in Persian) (فارسی)
- [17] S. Shojaei, A. Rahmani Hanzaki, S. Azadi, M. Saeedi, Collision- Design of decision-making lane change algorithm of truck-semitrailer in real dynamic environment, *Modares Mechanical Engineering*, Vol. 17, No. 9, pp. 351-360, 2017. (in Persian) (فارسی)
- [18] E. Kayacan, H. Ramon, W. Saeys, Robust trajectory tracking error model-based predictive control for unmanned ground vehicles, *IEEE/ASME Transactions on Mechatronics*, Vol. 21, No. 2, pp. 806-814, 2016.
- [19] P. Petrov, F. Nashashibi, Modeling and nonlinear adaptive control for autonomous vehicle overtaking, *IEEE Transactions on Intelligent Transportation Systems*, Vol. 15, No. 4, pp. 1643-1656, 2014.
- [20] L. Nehaoua, L. Nouveliere, Backstepping based approach for the combined longitudinal-lateral vehicle control, *Proceedings of The 2012 IEEE Intelligent Vehicles Symposium*, Alcala de Henares, Spain, June, 3-7, 2012.
- [21] J. Guo, P. Hu, R. Wang, Nonlinear coordinated steering and braking control of vision-based autonomous vehicles in emergency obstacle avoidance, *IEEE Transactions on Intelligent Transportation Systems*, Vol. 17, No. 11, pp. 1-11, 2016.
- [22] J. Choi, K. Yi, J. Suh, B. Ko, Coordinated control of motor-driven power steering torque overlay and differential braking for emergency driving support, *IEEE Transactions on Vehicular Technology*, Vol. 63, No. 2, pp. 566-579, 2014.
- [23] R. Attia, R. Orjuela, M. Basset, Combined longitudinal and lateral control for automated vehicle guidance, *Vehicle System Dynamics*, Vol. 52, No. 2, pp. 261-279, 2014.
- [24] J. Slotine, Sliding controller design for non-linear systems, *Control*, Vol. 40, No. 2, pp. 421-434, 1984.
- [1] Road traffic injuries, Accessed on 2 September 2017; <http://www.who.int/mediacentre/factsheets/fs358/en/#content>.
- [2] Causes of collisions, Accessed on 2 September 2017; <http://www.roadsafetymayo.ie/CausesofCollisions>.
- [3] In the last fourteen years, 315 thousand people have died as a result of road traffic crashes, Accessed on 5 October 2015; <http://www.mehrnews.com/news/2933947>. (in Persian) (فارسی)
- [4] K. Bengler, K. Dietmayer, B. Farber, M. Maurer, C. Stiller, H. Winner, Three decades of driver assistance systems: review and future perspectives, *IEEE Intelligent Transportation Systems Magazine*, Vol. 6, No. 4, pp. 6-22, 2014.
- [5] Automated Driving, Accessed on 5 September 2017; <https://www.vda.de/en/topics/innovation-and-technology/> automated-driving/automated-driving.
- [6] R. Rajamani, *Vehicle Dynamics and Control*, Second Edition, pp. 15-46, New York: Springer, 2012.
- [7] J. Jeon, R. V. Cowling, S. C. Peters, S. Karaman, E. Frazzoli, P. Tsiotras, K. Iagnemma, Optimal motion planning with the half-car dynamical model for autonomous high-speed drivin, *Proceedings of The 2013 American Control Conference*, USA, Washington, June 17-19, 2013.
- [8] S. C. Peters, *Optimal Planning and Control for Hazard Avoidance of Front-Steered Ground Vehicles*, Ph.D. Thesis, Department of Mechanical Engineering, Massachusetts Institute of Technology, Cambridge, 2012.
- [9] E. Velenis, P. Tsiotras, J. Lu, Optimality properties and driver input parameterization for trail-braking cornering, *Control*, Vol. 14, No. 4, pp. 308-320, 2008.
- [10] U. Kiencke, L. Nielsen, *Automotive Control Systems*, Second Edition, pp. 301-349, Berlin: Springer, 2005.
- [11] F. You, R. Zhang, G. Lie, H. Wang, H. Wen, J. Xu, Trajectory planning and tracking control for autonomous lane change maneuver based on the cooperative vehicle infrastructure system, *Expert Systems with Applications*, Vol. 42, No. 14, pp. 5932-5946, 2015.
- [12] S. Samiee, *The Design of Vehicle Control System with Drowsy Driver Based on Vehicle-Driver Interaction*, Ph.D. Thesis, Department of Mechanical Engineering, K. N. Toosi University of Technology, Tehran, 2016. (in Persian) (فارسی)
- [13] F. You, R. Zhang, G. Lie, H. Wang, H. Wen, J. Xu, Trajectory planning and tracking control for autonomous lane change maneuver based on the cooperative vehicle infrastructure system, *Expert Systems with Applications*, Vol. 42, No. 14, pp. 5932-5946, 2015.